



## Investigation of the Inhibitory Effects of CLF36 Peptide Derived from Camel Lactoferrin on NF-κB Signaling Pathway in Molecular Docking Simulation (*In silico*)

Hojjat Allah Yami<sup>1</sup>, Mojtaba Tahmoorespur<sup>2\*</sup>, Mohammad Hadi Sekhavati<sup>1</sup><sup>3</sup>, Ali Javadmanesh<sup>1</sup><sup>4</sup>

### How to cite this article:

Received: 08-09-2022

Yami, H., Tahmoorespur, M., Sekhavati, M.H., Javadmanesh, A. (2023).

Revised: 14-01-2023

Investigation of the inhibitory effects of CLF36 peptide derived from camel

Accepted: 05-02-2023

lactoferrin on NF-κB signaling pathway in Molecular Docking Simulation (*In*

Available Online: 05-02-2023

*silico*). *Iranian Journal of Animal Science Research*, 15(2), 285-297.

DOI: [10.22067/ijasr.2023.78545.1100](https://doi.org/10.22067/ijasr.2023.78545.1100)

**Introduction:** Lactoferrin is secreted in the apo-form from epithelial cells in most exocrine fluids, such as saliva, bile, pancreatic and gastric fluids, tears and, particularly, in milk. Lactoferrin is the most dominant protein in milk after casein. This protein plays a crucial role in many biological processes including the regulation of iron metabolism, induction and modulation of the immune system, the primary defense against microorganisms, inhibiting lipid peroxidation and presenting antimicrobial activity against various pathogens such as parasites, fungi, bacteria, and viruses. The major antimicrobial effect of lactoferrin is related to its N-terminal tail where different peptides for instance lactoferricin and lactoferrampin which are important for their antimicrobial abilities are present. cLF chimera (CLF36 peptide) was derived from camel lactoferrin (cLF) consisting of 42 amino acids and has primary sequence of DLIWKLLVKAQEKFGRGKPSKRVKKMRRQWQACKSSHHHHH. In addition, the results of previous study showed that cLFchimera had anti-inflammatory and regulatory activity of the immune system. Nuclear factor kappa B (NF-κB) transcription factors regulate several important physiological processes, including inflammation and immune responses, cell growth, apoptosis, and the expression of certain viral genes. NF-κB dimers are located in the cytoplasm in an inactive form through association with any of several IκB inhibitor proteins. The phosphorylation and degradation of IκB have received great attention as key steps for the regulation of Nuclear factor kappa B (NF-κB) complexes. Phosphorylation of the IκB by IKK signals it for ubiquitination at specific lysine residues. The aim of this study was to investigate the inhibitory effects of the recombinant camel Lactoferrampin-Lactoferricin on nuclear factor kappa B (NF-κB) pathway.

**Materials and Methods:** CLF36 peptide was prepared through a previous study in Biotechnology Laboratory of Animal Science Department, Faculty of Agriculture, Ferdowsi University of Mashhad (GenBank accession number: MH327768.1). Protein data for inhibitory combinations of the Nuclear factor kappa B (NF-κB) pathway was collected from the Protein Data Bank (PDB) And UniProt. Physico-chemical properties analysis (atomic state, isoelectric point, half-life, hydrophobicity hydrophilicity, barometric and pH) was done using Expasy Prot Param online server. The inhibitory effects of this peptide was assessed by Molecular Docking Simulation (*In silico*). the simulation of the interaction (Docking) of CLF36 peptide with Nuclear factor kappa B (NF-κB) signaling pathway in upstream, pro-

1- Ph. D student, Department of Animal Science, Faculty of Agriculture, Ferdowsi University of Mashhad, Mashhad, Iran.

2- Professor, Department of Animal Science, Faculty of Agriculture, Ferdowsi University of Mashhad, Mashhad, Iran.

3- Associate Professor, Department of Animal Science, Faculty of Agriculture, Ferdowsi University of Mashhad, Mashhad, Iran.

4- Assistant Professor, Department of Animal Science, Faculty of Agriculture, Ferdowsi University of Mashhad, Mashhad, Iran.

\*Corresponding Author's Email: [Tahmoores@um.ac.ir](mailto:Tahmoores@um.ac.ir)

inflammatory cytokines (e.g., TNF- $\alpha$  and IL-6) and in downstream, cytoplasmic IKKB and NF- $\kappa$ Bp65 was done using ClusPro 2.0 software online.interaction diagram created by LigPlot+ showing the hydrogen bond network and the hydrophobic interactions of CLF36 peptid with the upstream and downstream Nuclear factor kappa B (NF- $\kappa$ B) pathways.

**Results and Discussion:** Bioinformatics analysis on The molecular interaction of this peptide with the active site of NF- $\kappa$ B proteins suggested that in may have role of the modulators and Anti-Inflammatory of immune processes by inhibitory effect on the TNF- $\alpha$  and IL-6 cytokines in upstream and IKK- $\beta$  and NF- $\kappa$ B-p65 in downstream of the NF- $\kappa$ B signaling pathway. This results are similar to the inhibitory effects of Infliximab, Camelid Fab , NEMO and GILZ on the Nuclear factor kappa B (NF- $\kappa$ B) signaling pathway. Infliximab (Remicade) is a chimeric mAb and its use is not very well tolerated in the majority of patients, infliximab therapy leads to the production of antibodies to infliximab in a small subset of patients. the Camelid Fab antibody with the highest (femtomolar) potency, displays a very large surface of interaction with IL-6. the regulatory role of NEMO in the IKK complex, since a number of genetic and biochemical studies clearly demonstrate that proinflammatory IKK activation is absolutely dependent upon the presence of functional NEMO. Glucocorticoid-induced leucine zipper (GILZ) is a glucocorticoid responsive protein that links the nuclear factor-kappa B (NF $\kappa$ B) and the glucocorticoid signaling pathways. Functional and binding studies suggest that the proline-rich region at the carboxy terminus of Glucocorticoid-induced leucine zipper (GILZ) binds the p65 subunit of Nuclear factor kappa B (NF- $\kappa$ B) and suppresses the immunoinflammatory response.

**Conclusion:** The results of the interaction (Docking) of CLF36 peptide with Nuclear factor kappa B (NF- $\kappa$ B) signaling pathway indicates that, in upstream, will be inhibitory effect of CLF36 peptide in active site of pro-inflammatory cytokines (e.g., TNF- $\alpha$  and IL-6) and in downstream, cFL36 peptide will bind to protein receptors of cytoplasmic IKKB and NF- $\kappa$ B p65. Therefore, these findings may provide a theoretical basis for therapeutic mechanisms of CLF36 peptide.

**Keywords:** Pro-inflammatory Cytokines, Nuclear Factor Kappa B Pathway, Molecular Docking Simulation



مقاله پژوهشی

جلد ۱۵، شماره ۲، تابستان ۱۴۰۲، ص. ۲۸۵-۲۹۷

## بررسی اثر مهاری پپتید CLF36 مشتق شده از لاکتوفرین شتری بر مسیر پیام رسان NF-κB در محیط شبیه سازی شده مولکولی (*In silico*)

حجت‌الله یامی<sup>۱</sup>، مجتبی طهمورث پور<sup>۲\*</sup>، محمد جواد سخاوتی<sup>۳</sup>، علی جواد منش<sup>۴</sup>

تاریخ دریافت: ۱۴۰۱/۰۶/۱۷

تاریخ پذیرش: ۱۴۰۱/۱۱/۱۶

### چکیده

هدف از این مطالعه، بررسی اثرات مهاری لاکتوفرامپین-لاکتوفریسین شتری نوترکیب بر مسیر فاکتور هسته‌ای کاپا B (NF-κB) بود. این پپتید (CLF36) که با مطالعه قبلی در آزمایشگاه بیوتکنولوژی گروه علوم دامی دانشکده کشاورزی دانشگاه فردوسی مشهد (شماره دسترسی بانک ژن: MH327768.1) تهییه شده است. اثرات بازدارندگی این پپتید با شبیه‌سازی داکینگ مولکولی (*In silico*) ارزیابی شد. داده‌های پروتئین برای مسیر پیام رسان NF-κB از بانک داده‌های پروتئین (PDB) و UniProt جمع‌آوری شد. سپس، شبیه‌سازی برهم‌کنش (داکینگ) پپتید CLF36 با مسیر پیام رسان NF-κB در بالادست، سایتوکین‌های پیش‌التهابی (مانند TNF-α و IL-6) و در پایین دست، سیپوپلاسمی با استفاده از نرمافزار ClusPro 2.0 انجام شد. تجزیه و تحلیل بیوانفورماتیکی بر اساس برهم‌کنش‌های مولکولی این پپتید با جایگاه فعال پروتئین‌های مسیر NF-κB آنلاین 2.0 نشان داد که ممکن است نقش تعدیل کنندگی و ضد‌التهابی این پپتید با اثر مهاری بر روی سایتوکین‌های TNF-α و IL-6 در بالادست و NEMO و IKK-β در پایین دست مسیر پیام رسان NF-κB داشته باشد. این نتایج مشابه با اثرات مهاری Camelid FabInfliximab و GILZ بر روی مسیر پیام رسان NF-κB است. علاوه بر این، این یافته‌ها ممکن است یک بنای نظری برای مکانیسم‌های درمانی پپتید CLF36 فراهم کند.

**واژه‌های کلیدی:** سایتوکین‌های پیش‌التهابی، شبیه‌سازی داکینگ مولکولی، مسیر فاکتور هسته‌ای کاپا B

### مقدمه

(Embleton *et al.*, 2013)، آنتی‌باکتریائی (Berluttii *et al.*, 2011) ضد قارچ، ضد انگلی (Leboffe *et al.*, 2009)، تنظیم سیستم ایمنی بدن و فعالیت‌های آنتی‌اکسیدانی می‌باشد (Kanwar *et al.*, 2015). پپتید لاکتوفرین کایمر<sup>۵</sup> (CLF31)، اولین بار از طریق اتصال دو پپتید لاکتوفرامپین و لاکتوفریسین گاوی با اسیدآمینه لا زیرین به یکدیگر تو سط بول‌سچر و همکاران در سال ۲۰۰۹ به صورت تجاری

لاکتوفرین (Lf) یک گلیکوپروتئین ۸۰ کیلو دالتونی متصل به آهن است که در سیستم ایمنی ذاتی نقش مهمی ایفا می‌کند و به عنوان یک مولکول مهم دفاعی میزبان در نظر گرفته می‌شود که دارای طیف گسترده‌ای از عملکردهای فیزیولوژیکی مانند ضد ویروسی

- ۱- دانشجوی دکتری، گروه علوم دامی، دانشکده کشاورزی، دانشگاه فردوسی مشهد، مشهد، ایران.
- ۲- استاد، گروه علوم دامی، دانشکده کشاورزی، دانشگاه فردوسی مشهد، مشهد، ایران.
- ۳- دانشیار، گروه علوم دامی، دانشکده کشاورزی، دانشگاه فردوسی مشهد، مشهد، ایران.
- ۴- استادیار، گروه علوم دامی، دانشکده کشاورزی، دانشگاه فردوسی مشهد، مشهد، ایران.

(Email: Tahmoores@um.ac.ir)

\*- نویسنده مسئول:

همکاران، در تحقیقی اثرات پیتید نوترکیب CLF36 شتری را بر شاخص‌های مختلف تولید و سلامت در مرغان گوشتی تحت چالش بیماری التهاب روده (*Necrotic enteritis*) بررسی کردند. نتایج این پژوهش نشان می‌دهد که استفاده از پیتید CLF36 از طریق تنظیم بیان ژن‌های تولیدکننده سایتوکاین‌های پیش التهابی، پروتئین MUC2 و پروتئین‌های اتصالی به هم فشرده لایه اپیتلیال روده سبب کاهش خسارات روده و مرگ میر در پرندگان، بهبود ویژگی‌های رشد، بهبود خصوصیات مورفولوژی روده (طول و عرض پرزهای روده)، ایجاد تعادل جمعیت میکروبی در روده شود (Daneshmand et al., 2020). نعمتی و همکاران، در پژوهشی روی سلول‌های ماکروفاز RAW264.7 نشان دادند که لاکتوفرین کایمر گاوی بیان سایتوکاین‌های پیش التهابی TNF- $\alpha$  و IL-6 شده و در نهایت، از طریق مهار بیان پروتئین p65 باعث مهار مسیر پیام‌رسان فاکتور هسته‌ای kB شده است (Nemati et al., 2021). سانگ و همکاران، در پژوهشی به بررسی اثرات تعدیلی سیستم ایمنی پیتید لاکتوفریسین-لاکتوفرامپین کایمر گاوی (LFCA) در موش‌های مبتلا به بیماری کولیت حاد پرداختند که نتایج این پژوهش نشان می‌دهد که پیتید آنتی باکتریال LFCA از طریق مهار مسیر پیام‌رسان NF-kB می‌تواند مانع تولید سایتوکاین‌های پیش التهابی شده و سبب بهبود فعالیت سد اپیتلیال روده (کاهش نفوذپذیری) و حفظ تعادل باکتریایی روده می‌شود (Song et al., 2019). داشمند و همکاران، در پژوهشی به بررسی اثرات پیتید نوترکیب CLF36 شتری بر سلول‌های ایمنی (سایتوکاین‌های اینترلکین ۲ و ۶) و بیان پروتئین‌های اتصالی به هم فشرده لایه اپیتلیال روده (*mucin2*) در مرغان گوشتی تحت چالش با باکتری *Claudin-1* و *Occludin* از *E. coli* پرداختند. نتایج این پژوهش نشان می‌دهد که پیتید CLF36 از طریق کاهش سطح بیان سایتوکاین‌های پیش التهابی سبب تعدیل و تنظیم پاسخ ایمنی و التهابی در پرندگان شده و از ایجاد بیماری‌های التهابی روده نظری کولون و کولیت جلوگیری می‌شود (Daneshmand et al., 2019).

لذا هدف از این پژوهش، مطالعه اثر دقیق پیتید CLF36 مشتق شده از پروتئین لاکتوفرین شتری بر مسیرهای مهاری بالادستی و پایین دستی پیام‌رسان kB-NF در سطح مولکولی با استفاده از روش‌های مبتنی بر بیولوژی ساختاری و بررسی برهمنکش‌های آن با ماکرومولکول‌های خارج و داخل سلولی و در نهایت، به مقایسه عملکرد این پیتید با سایر ترکیبات پروتئینی و دارویی در مهار مسیر kB-NF می‌باشد.

تولید گردید (Bolscher et al., 2009). همچنین در سال ۲۰۱۲ تانگ و همکاران از طریق بیان در مخمر (*Pichia pastoris*) موفق به تولید پروتئین نوترکیب لاکتوفرامپین-لاکتوفریسین گاوی شدند (Tang et al., 2012). در سال ۲۰۱۸ (CLF36) که یک پیتید مشتق شده از لاکتوفرین شیر شتر می‌باشد (شماره دسترسی بانک ژن: MH327768.1)، در تحقیقی در آزمایشگاه بیوتکنولوژی گروه علوم دامی دانشگاه فردوسی مشهد به صورت نوترکیب تولید شده است. تحقیق بروی این پیتید نشان NF-kB می‌دهد که پیتید CLF36 از طریق تنظیم مسیر پیام‌رسان سبب تنظیم و تعدیل فعالیت پاسخ ایمنی در زمان بروز التهاب و بیماری‌های خود التهابی می‌شود (Daneshmand et al., 2019; Daneshmand et al., 2020).

از این رو، یکی از مهم‌ترین مسیرهای تنظیمی پاسخ ایمنی در بدن، مسیر پیام‌رسان فاکتور هسته‌ای کاپا B (NF-kB) می‌باشد که شامل مجموعه‌ای از فاکتورهای رونویسی دائمیک و تنظیم‌کننده اصلی پاسخ ایمنی و التهابی، چسبندگی سلولی، تمایز، تکثیر و آپوپتوز است و نکته مهمی که در طول این فرآیندها وجود دارد، این است که در صورت ادامه‌دار بودن فرآیند پاسخ ایمنی، یکسری از بیماری‌ها که در اصطلاح به آن‌ها بیماری‌های خودالتهابی گفته می‌شود، ایجاد می‌شوند (Dinarello, 2007). فاکتور رونویسی kB یک پروتئین هترودایمر است که به واسطه پروتئین مهارکننده kB و تشکیل کمپلکس kB-RHRP65 (PDB:1NFI) به صورت غیر فعال در سیتوپلاسم قرار دارد. در زمان بروز آسیب یا پاسخ به سیگنال‌های پاتوزنیک این مسیر فعال شده و در نهایت، سبب القاء بیان ژن‌های (TNF, IL1, IL6, IL8) هدف در تولید سایتوکاین‌های پیش التهابی (Hayden et al., 2006). از این رو، یکی از استراتژی‌های مهم درمانی جهت مقابله با بیماری‌های خود التهابی و تعدیل سیستم ایمنی، مهار مسیر بالادستی (خارج سلولی) و پایین دستی (آیشار مولکولی) و ممانعت اتصال پروتئین فعال شده kB-NF در هسته سلول به پرموتورهای ژن‌های هدف می‌باشد (Chen et al., 2000). تاکنون مطالعات متعددی در زمینه مهار مسیر فعالیت فاکتور رونویسی kB صورت گرفته است که دلالت بر اهمیت مهار این NF-kB کمپلکس پروتئینی دارد. تاکنون بیش از ۷۵۰ مهارکننده مسیر kB-B شناسایی شده‌اند. که انواع مختلف مولکول‌های طبیعی و سنتزی، اعم از آنتی‌اکسیدان‌ها، پیتیدها، پلی پیتیدهای مهندسی شده و پروتئین‌های ویروسی و میکروبی را شامل می‌شوند. چندین داروی ضد التهابی غیراستروئیدی (NSAID) از جمله آسپرین، ایبوپروفن، سولیндاق و ایندومتاکسین نیز می‌توانند مانع فعالیت kB در رده‌های سلولی شوند (Kopp and Ghosh, 1994).

نرم افزار LigPlot<sup>+</sup> v.2.2 و نمایش آن از طریق نرم افزار PyMOL2.5.2 پرداخته شد.

## نتایج و بحث

توالی رپتورهای IL6Ra، TNFRI و IL6 استخراج گردید. ساختار سه بعدی Uniprot Ikkβ (RCSB) و NF-κB (P65) از بانک اطلاعات پروتئین (RCSB) و IκBα جمع آوری شد. همچنین اطلاعات مربوط به ترکیبات مهاری Fab PDB GILZ و NEMO، Camelid Fab، Infliximab به دست آمد که نتایج آن در جدول ۱ آورده شده است.

ترکیبات پروتئینی مسیر بالادستی و پایین دستی NF-κB و همچنین ساختارهای سه بعدی گردآوری شده به همراه توالی اسید آمینه ای آنها در جدول ۲ نشان داده است.

با استفاده از سرور آنلاین PEP-FOLD3.5 مدل سازی پیتید CLF36 انجام شد و شبیه سازی ساختار پیش بینی شده در شرایط دینامیک مولکولی<sup>۳</sup> (MD) با استفاده از نرم افزار GROMACS 5.0.1 برای ۱۰ نانو ثانیه صورت گرفت. همچنین ساختار فضایی و سه بعدی ترکیبات مهاری مسیر NF-κB نیز با استفاده از سرور آنلاین I-Tasser پیش بینی شد و جهت اطمینان حاصل کردن از Swiss model صحت مدل های پیش بینی شده، از سرور RAMPAGE برای بررسی نمودار راما چاندران و از سرور SAVES v6.0 به منظور بررسی سایر پارامترهای دخیل در ساختار پروتئین استفاده شد. نتایج ساختارهای پیش بینی شده و توالی آنها در جدول ۳ نشان داده شده است.

جهت بررسی خصوصیات فیزیکوشیمیایی پیتید CLF36 و مقایسه آن با سایر ترکیبات مهاری مسیر پیام رسان NF-κB به آنالیز وضعیت اتمی، نقطه ایزو الکتریک، نیمه عمر و همچنین بار الکتریکی و PH اسید آمینه های ترکیبات مهاری مسیر پیام رسان NF-κB پرداخته شد که نتایج آن در جدول ۴ آورده شده است.

براساس نتایج حاصل از مقایسه خواص فیزیکوشیمیایی پیتید CLF36 با ترکیبات مهاری مسیر NF-κB می توان گفت پیتید مورد نظر از لحاظ اندازه تفاوت قابل توجهی با آنتی بادی های Infliximab و Camelid Fab دارد. زیرا این پیتید با هدف افزایش قدرت اتصال به دیواره سلولی باکتری های گرم منفی و مثبت، از دو دومین با ساختار مارپیچ آلفا که با اسید آمینه لیزین از هم تفکیک شده اند، طراحی شده است. همچنین وجود اسید آمینه تریپتوфан در ساختار این پیتید با افزایش فعالیت آنتی باکتریال شده است. برهم کنش اسیدهای آمینه آبگریز و قلیایی، به ویژه تریپتوファン و آرژینین با هسته داخلی غشاء مهم ترین نقش را در فعالیت ضد میکروبی این پیتید دارند (Tanhayian et al., 2018).

## مواد و روش ها

اولین قدم برای ورود به مطالعات بیوانفورماتیکی، جمع آوری داده های پروتئینی می باشد که اطلاعات مربوط به توالی رپتورهای سطح غشا، جایگاه های فعال سایر ماکرومولکول ها بوده و از پایگاه Uniprot (https://www.uniprot.org) و ساختار سه بعدی این پروتئین ها نیز از پایگاه PDB (http://www.rcsb.org/pdb/home.do) جمع آوری گردید. برای بررسی ساختار پروتئین ها و آنالیز خصوصیات فیزیکوشیمیایی آنها شامل نقطه ایزو الکتریک، وزن مولکولی، نیمه عمر، تعداد ذباله های منفی و مثبت، شاخص آلیفاتیک، شاخص بی ثباتی و مقدار Expasy Prot Param های سرور از سرور I-Tasser (https://web.expasy.org/protparam) با کمک سرورهای مختص مدل سازی نظری سرور آنلاین Swiss model (https://zhanggroup.org/I-TASSER) و ساختار فضایی و سه بعدی سایر پروتئین ها رسم شد و بهترین مدل ها بر مبنای امتیاز دهنده نرم افزار انتخاب گردید. جهت اطمینان حاصل کردن از صحت مدل های پیش بینی شده، از سرور RAMPAGE (https://mordred.bioc.cam.ac.uk/~rapper/rampage.php) برای بررسی نمودار راما چاندران و از سرور SAVES v6.0 به منظور بررسی سایر پارامترهای دخیل در ساختار پروتئین استفاده شد. علاوه بر این، جهت مدل سازی PEP-FOLD3.5 از سرور آنلاین (https://mobyle.rpbs.univ-paris-diderot.fr/cgi-bin/portal.py#forms::PEP-FOLD3) استفاده شد و ساختار پیتید در شرایط دینامیک مولکولی<sup>۳</sup> (MD) با استفاده از نرم افزار GROMACS 5.0.1 برای ۱۰ نانو ثانیه شبیه سازی گردید و در نهایت، کیفیت آن از طریق نرم افزار PROCHECK (http://servi/cesn.mbi.ucla.edu/PROCH\_ECK/) مورد ارزیابی قرار گرفت. جهت بررسی برهم کنش های مولکولی پیتید CLF36 با ماکرومولکول های خارج و داخل سلولی با استفاده از روش داکینگ مولکولی مشخص گردید. به منظور انجام داکینگ مولکولی نوع و اندازه Cluspro 2.0 از سرور (https://cluspro.bu.edu/login.php) و Auto Dock HADDOCK و HADDOCK بهره گرفته شد. در نهایت، جهت بررسی نتایج حاصل از برهم کنش های مولکولی پیتید CLF36 با گیرنده های مختلف پروتئینی به بررسی و مقایسه برهم کنش پیتید مورد نظر با سایر ترکیبات مهاری مسیر پیام رسان NF-κB با کمک

1- GRAVY

2- Molecular dynamics

ترکیبات مهاری در بافت‌ها می‌شود، اما در برخی از درمان‌های بالینی که نیاز به گردش آنتی‌بادی در دوره‌های طولانی مدت دارند، مشکل ایجاد می‌کند (Boswell *et al.*, 2010).

همچنین شاخص‌های ناپایداری و آلیفاتیک پیتید CLF36 با سایر ترکیب‌های بات مهاری و به خصوص آنتی‌بادی‌های Infliximab و Camelid Fab در دامنه نزدیک به هم قرار دارند. از این رو نشان می‌دهد که پیتید CLF36 می‌تواند به عنوان یک ترکیب مهاری مسیر از پایداری بالائی برخوردار باشد، زیرا آنتی‌بادی‌های منوکلونال در برابر دناتوره کننده‌های شیمیایی و آنزیم‌های پروتئاز مقاوم هستند و در pH شدید پایداری بالایی دارند (Kraus *et al.*, 2019).

نقطه ایزووالکتریک پیتید CLF36 تفاوت زیادی نسبت به سایر ترکیبات مهاری مسیر پیام‌رسان دارد که علت آن وجود اسید آمینه‌های بازی آرژین و لیزین در این پیتید می‌باشد که بالا بودن نقطه ایزووالکتریک باعث می‌شود تا در محیط‌های بازی، این پیتید دارای فعالیت بالائی داشته باشد. از طرف دیگر، نیمه عمر پیتید CLF36 با آنتی‌بادی Infliximab برابر می‌باشد، اما ترکیبات مهاری NEMO و GILZ که از ترکیبات طبیعی مهارکننده مسیر پیام‌رسان NF-κB در حالت ثبات سلول و در شرایط غیرالتهابی هستند از طول عمر بسیار بالاتری نسبت به ترکیبات مهندسی و طراحی شده برخوردار هستند. زیرا در ترکیبات مهاری مهندسی شده، کوتاه بودن نیمه عمر باعث افزایش نفوذپذیری

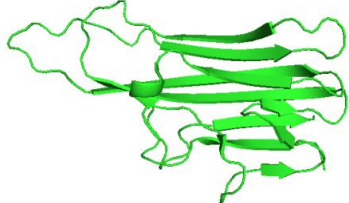
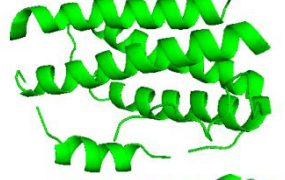
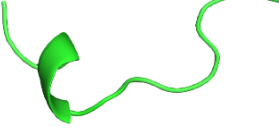
جدول ۱- مکانیسم‌های مهاری بالادستی و پایین دستی مسیر NF-κB

Table 1- Inhibitory mechanisms of Upstream and downstream of the NF-κB pathway

برهم‌کنش پروتئینی	مهارکننده	Inhibitory	مکانیسم مهاری مسیر NF-κB Inhibitory mechanisms of the NF-KB pathway	منابع References
<b>مسیر بالا دستی</b>				
			<b>Upstream pathway</b>	
TNFRI- TNF $\alpha$ (PDB: 1EXT)	Fab Infliximab (PDB: 4G3Y)		مهار جایگاه اتصال رسپتور TNF $\alpha$ با TNFR1 از طریق برهم‌کنش آرژین ۵۲ و ۱۰۳، تیروزین ۱۰۲ و ۱۰۰، زنجیره جانبی سنگین Infliximab بهترتب با آسپارتات ۱۴۰، گلوتامات ۱۰۷، ترئونین ۱۰۵ و آلانین ۱۰۹ سایتوکاین TNF $\alpha$ و سپس اتصال واندروالسی گلوتامات ۵۳ و تریپتوفان ۹۴ زنجیره سپک Infliximab با هیستیدین ۵۳ و آسپارتین ۱۳۷	Liang <i>et al.</i> , 2013
IL6—IL6R (PDB: 1P9M)	Camelid Fab (PDB: 4ZS7)		Inhibition of the binding site of TNF $\alpha$ receptor with TNFRI through the interaction of Arg 52 and 100, Tyr 102 and 103 of the heavy side chain of Infliximab with Asp 140, Glu 107, Thr 105 and Ala 109 respectively, of TNF $\alpha$ cytokine and then Van der Waals binding of Glu 53 and Try 94 of Infliximab light chain with His 53 and Asn 137  مهار جایگاه اتصال رسپتور IL6 با IL6R از طریق برهم‌کنش ترئونین ۵۶، آسپارتات ۵۸، تیروزین ۶۰، آسپارتات ۵۴، ۱۰۲، ۱۰۳، تیروزین ۳۳ و آرژین ۳۳ زنجیره جانبی سنگین Camelid بهترتب با آرژین ۱۶۸ گلوتامات ۱۷۲، هیستیدین ۱۶۴، لیزین ۱۷۱، آرژین ۴۰، سرین ۳۷، آرژین ۳۰ و آسپارتات ۳۴ سایتوکاین IL6 و سپس اتصال آسپارتین ۲۶ زنجیره سپک Camelid با سرین ۷۶ سایتوکاین IL6	Blanchetot <i>et al.</i> , 2016
<b>مسیر پایین دستی</b>				
			<b>Downstream pathway</b>	
IKK $\beta$ -IkB $\alpha$ (PDB: 3QA8)	NEMO (PDB: 3BRV)		مهار زنجیره A آنزیم مهارکننده کابا B کیناز از طریق اتصال هیدروژنی با اسید آمینه‌های سرین ۷۳۳، فیل آلانین ۷۳۴، گلوتامین ۷۳۰، گلوتامات ۷۲۰، سرین ۷۲۰ و آرژین ۷۰۵ و آرژین ۱۰۱ و همچنین مهار زنجیره B آنزیم با برهم‌کنش NEMO با اسید آمینه‌های گلوتامات ۷۱۱، گلوتامین ۷۲۲، گلوتامات ۷۲۹ و ترئونین ۷۲۶ Inhibition of the A chain of kappa B kinase inhibitory enzyme through hydrogen bonding of NEMO with amino acids Ser 733, Phe 734, Gln 730, Glu 720, Ser 705 and Arg 101, as well as inhibition of the B chain of the enzyme by NEMO interaction with amino acids Glu 711, Gln 732, Glu 729 and Thr 726  مهار انتقال پروتئین (P65) به درون هسته از طریق برهم‌کنش اسید آمینه‌های پیتید GILZ با آرژین ۲۹۳ و ترئونین ۲۹۵ و لیزین ۲۹۶ از NLS P65	Rushe <i>et al.</i> , 2008
NLS P65-Importin $\alpha$ 3 (PDB: 7LF4)	GILZ (PDB: 1DIP)		Inhibition of nuclear translocation of NFKB protein (P65) through the interaction of GILZ peptide amino acids with Arg 294, Lys 293 and Thr 300, Lys 295 and Arg 296 of NLS P65	Srinivasan <i>et al.</i> , 2014

جدول ۲- ساختار بعدی ترکیبات مهاری مسیر NF-κB

Table 2- 3 D structure of inhibitory combinations of the NF-κB pathway

ترکیبات Combinations	ساختار بعدی 3 D structure	توالی اسید آمینه Amino acid sequence
TNF $\alpha$		VRSSSRTPSDKPVAVVANPQAEQLQWLNRRA NALLANGVELRDNQLVVPSEGLYLIYSQVLFKGQ GCPSTHVLVLLTHTISRIA VSYQTKVNL SAIKSPCQR ETPEGAEAKPWYEPIYLGGVFQLEKGDR LSAEINR PDYLDFAESGQVYFGI AL
IL6		PHRQPPLTSSERIDKQIRYILDGISALRKETCNKS NM CESSKEALAENN NLPKMAEKDGCFQSGFNEETC LVKIITGLEFEVYLEYLQNRFESSEEQARAVQMS TKVLIQFLQKKAKNLDAITTPDPTTNASLLTKLQA QNQWLQDMTTHLILRSFKEFLQSSLRALRQM
IKK $\beta$		AMAPAKKSEELVAEAHNLC CTLLEN AIQDTVREQD QSFTALDW SWLQTE
NLS p65		DRHRRIEEKRKRTYETFKSIMKK

۱۰۴، آلانین ۱۰۹ و گلوتامات ۱۰۷ سایتوکاین TNF $\alpha$  با انرژی اتصال ۷۶۳.۸ (kcal/mol) برقرار شده است. لذا، براساس نتایج تحقیقات لیانگ و همکاران در سال ۲۰۱۳ بر روی اثرات مهاری داروی Infliximab در سایتوکاین TNF $\alpha$  می‌توان Infliximab گفت عملکرد پپتید CLF36 در مهار اسیدآمینه‌های آسپاراتات، ۱۴۰ گلو تا مات، ۱۰۷ آلانین ۱۰۹ مشابه با زنجیره سنجین داروی Infliximab و مهار اسیدآمینه آسپارژین ۱۳۷ همانند زنجیره سبک داروی Infliximab بوده است که ممکن است همانند این دارو سبب مهار جایگاه فعال اتصال سایتوکاین TNF $\alpha$  به گیرنده اختصاصی خود شده و در نهایت، مسیر پیام رسان NF-κB را متوقف سازد TNFR1 شده و در نهایت، مسیر پیام رسان NF-κB با یافته‌های هو و همکاران در سال ۲۰۱۳ در بررسی اثرات مهاری داروی Adalimumab Fab بر سایتوکاین پیش التهابی TNF $\alpha$  نیز هم خوانی دارد. براساس یافته‌ها، برهم‌کنش پپتید CLF36 با اسیدآمینه‌های لیزین، ۹۰، گلوتامات، ۱۳۵، آسپارژین، ۱۳۷، آرژنین، ۱۳۸، ترئونین، ۱۴۱ Adalimumab مشابه با داروی CLF36 می‌باشد (Hu et al., 2013). نتایج اثرات مهاری پپتید Fab با سایتوکاین TNF $\alpha$  در شکل ۲A نشان داده شده است.

در نهایت، مدل سازی مولکولی اثرات مهاری پپتید CLF36 بر مسیر پیام رسان فاکتور هسته کاپا B و مقایسه آن با سایر ترکیبات مهاری Camelid Fab، Infliximab، NEMO و GILZ با استفاده از نرم‌افزارهای بیوانفورماتیکی مختص داکینگ پروتئین-پروتئین نظیر ClusPro2.0 صورت گرفت. بر این اساس، میزان انرژی و موقعیت اتصال پپتید CLF36 و ترکیبات مهاری با سایتوکاین ها و گیرنده‌های مسیر پیام رسان NF-κB مورد بررسی قرار گرفتند که نتایج براساس رابطه ۱ در جدول ۱ نشان داده شده است (Kozakov et al., 2013; Kozakov et al., 2017).

$$E = 0.40E_{\text{rep}} \pm 0.40E_{\text{att}} + 600E_{\text{elec}} + 1.00E_{\text{DARS}} \quad (1)$$

همچنین موقعیت اتصال پپتید CLF36 با سایتوکاین ها و گیرنده‌های پروتئینی مسیر بالادستی و پایین دستی NF-κB در شکل ۱ نشان داده شده است.

براساس نتایج حاصله می‌توان گفت که در مسیر بالادستی پیام رسان NF-κB، اتصال اسید آمینه‌های آرژنین، ۲۸، هیستیدین، ۴۰، سیستین، ۲۳، گلوتامین، ۲۹، لیزین، ۲۵، آرژنین، ۲۲، لیزین، ۲۱ از پپتید CLF36 به ترتیب با آسپاراتات، ۱۴۰، لیزین، ۹۰، گلوتامات، ۱۳۵ آسپارژین، ۱۳۷، آرژنین، ۱۳۸، ترئونین، ۱۴۱، گلوتامین، ۶۷ نشان داده شده است.

## جدول ۳- ساختار سه بعدی ترکیبات مهاری مسیر NF-κB

Table 3- 3 D structure of inhibitory combinations of the NF-κB pathway

ترکیبات مهاری Combinations	ساختار سه بعدی 3 D structure	توالی اسید آمینه Amino acid sequence
CLF36		DLIWKLLVKAQEKFGRGKPSKRVKK MRRQWQACKSSHHHHH
Infliximab (Remicade)		DILLTQSPAILSVPSPGERVSFSCRASQFVGSSIHWFYQQ RTNGSPRLLIKYASESMGIPSFRSGSGSGTDFTLSINT VESEDIADYYCQQSHWPFTFGSGTNLEVKTVAAPS VFIFPPSDEQLKSGTASVVCLLNNFYPREAKVQWKVD NALQSGNSQESVTEQDSKDSTYLSSTTLSKADYEK HKVYACEVTHQGLSSPVTKSFNRGECEVKLEESGGG LVQPGGSMKLSCVASGFIFSNHWMNWVRQSPEKGLE WVAEIRSKSINSATHYAESVKGRFTISRDDS KSAVYL QMTDLRTEDTGVYYCSRNYYGSTYDYWGQQGITLT SSASTKGPSVFLAPSSKSTSGTAALGCLVKDYFPEP VTWSWNSGALTSVHFTPAVLQSSGLYSLSSVVTVP SSLGTQTYICNVNPKSNTKVDKKVEPKSCDKT QAVLTQPPLVSGTPGQTVTISCAGANNDIGTYAYVS WYQQQLPGTAKPLLIYKVTRASGIPSFRSGSKSGNTA SLTISGLQSEDEADYYCASYRFNNAVFGRGTHLTVL GQPKAAPSVTLPSSSEELQANKATLVCLISDFYPGAV TVAWKADSSPVKAGVETTPSKQSNNKYAASSYLSL TPEQWKSHRSYSCQVTHEGSTVEKTVAPTECSEVQL QESGPGLVKPSQTLSTCTVSGGSITRYYAWSWIRQ PPGKGLEWMVIDYDGDTYYSPSLKSRTSISWDTSK NQFSQLSSVTPEDTAVYYCARDPDVVTGFHYDWG QGTQTVSSASTKGPSVFLAPSSKSTSGTAALGCL VKDYFPEPVTVWNNSGALTSGVHTFPAPLQSSGLYSL SSVTVPPSSSLGTQTYICNVNPKSNTKVDKKVEP MWEQGAPETLQRCLEENQELRDAIRQSNQILRERCEE LLHFQASQREEKEFLMCKFQEARKLVERLGLEKMWE QGAPETLQRCLEENQELRDAIRQSNQILRERCEE LLHFQASQREEKEFLMCKFQEARKLVERLGLEK QASQREEKEFLMCKFQEARKLVERLGLEK
Camelid Fab (68F2)		
NEMO		
GILZ		MDLVKNHLMYAVREEVEILKEQIRELVEKNSQLERE NTLLKTLASPEQLEKFQSRLSPEEPAPETP EAPEAPGGSAV

kB همانند زنجیره سنگین داروی Camelid Fab عمل کرده و در نهایت، سبب مهار جایگاه فعال اتصال سایتوکاین IL6 به گیرنده اختصاری خود IL1RI خواهد شد. نتایج اثرات مهاری پپتید CLF36 با سایتوکاین IL6 در شکل ۲.B نشان داده شده است.

اما در مسیر پایین دست پیامرسان NF-κB، نتایج نشان می‌دهد که پپتید CLF36 با اتصال به جایگاه فعال آنزیم مهارکننده کاپا κیناز (IKK $\beta$ ) و برهم‌کنش اسید آمینه‌های آرژنین ۱۶ و ۲۸ از پپتید CLF36 با تریپتوфан ۷۴۱، گلوتامین ۷۳۰ و ۷۴۳ از پپتید CLF36 با کنار آن برهم‌کنش هیستیدین ۳۹، سرین ۳۵، گلوتامین ۳۱ و لیزین ۳۴ پپتید CLF36 به ترتیب با گلوتامین ۷۳۰، آسپارتات ۷۲۵، گلوتامات

از طرف دیگر، در مسیر بالادستی NF-κB، برهم‌کنش اسید آمینه‌های آسپارتات ۱، هیستیدین ۴۱، ۴۰، ۳۷ و سرین ۳۶ از پپتید CLF36 به ترتیب با اسید آمینه‌های آرژنین ۴۰ و ۴۸، لوسمین ۱۶۸، هیستیدین ۱۶۴، آسپارتین ۴۸ و تریپتوفان ۱۵۷ سایتوکاین IL6 با ارزش اتصال ۷۲۳.۷ (kcal/mol) مشخص شده است. بنابراین، نتایج نشان می‌دهد که عملکرد پپتید CLF36 در مهار اسید آمینه‌های آرژنین ۴۰ و همچنین هیستیدین ۱۶۴ مشابه با نتایج بلانچیوت و همکاران ۲۰۱۶ در بررسی اثرات مهاری داروی Camelid Fab با روی سایتوکاین IL6 بوده است (Blanchetot *et al.*, 2016). لذا، می‌توان گفت که احتمالاً پپتید CLF36 در مهار مسیر پیامرسان NF-

(Rushe *et al.*, 2008). لذا پپتید CLF36 در مهار اسید آمینه‌های فنیل آلانین ۷۳۴، گلوتامین ۷۳۲، ۷۳۰ و آنزیم IKK $\beta$  با ترکیب طبیعی مهار NEMO مشابه است دارد. بنابراین، می‌توان این گونه بیان کرد که احتمالاً پپتید مورد نظر با مهار جایگاه فعال آنزیم IKK $\beta$ ، سبب ممانعت اتصال به پروتئین IkB $\alpha$  شده و آبشرار مولکولی مسیر پایین دست پیام‌رسان NF-κB قطع خواهد شد. نتایج برهم‌کش‌های این مسیر در شکل C نشان داده است.

گلوتامین ۷۳۲ و فنیل آلانین ۷۳۴ از آنزیم IKK $\beta$  با انرژی اتصال ۱۱۵۲.۹ (kcal/mol) سبب مهار جایگاه فعال این آنزیم شده و نتایج حاصله با بررسی روشی و همکاران در ۲۰۰۸ بر روی اثرات مهاری NEMO در مهار جایگاه فعال آنزیم IKK $\beta$  مطابقت دارد. نتایج این بررسی نشان می‌دهد که ترکیب مهاری NEMO در شرایط طبیعی در سلول‌های فقد خاصیت التهابی به اسید آمینه‌های سرین ۷۰۵، فنیل آلانین ۷۳۴، گلوتامین ۷۳۰ و ۷۲۹ و ترئونین ۷۲۶ از جایگاه فعال گلوتامات ۷۱۱، گلوتامین ۷۳۲ و ۷۲۹ و ترئونین ۷۲۶ از جایگاه فعال آنزیم IKK $\beta$  متصل شده و سبب مهار مسیر NF-κB می‌شود.

جدول ۴- مقایسه خواص فیزیکوشیمیایی پپتید CLF36 و سایر ترکیبات مهاری مسیر NF-κB

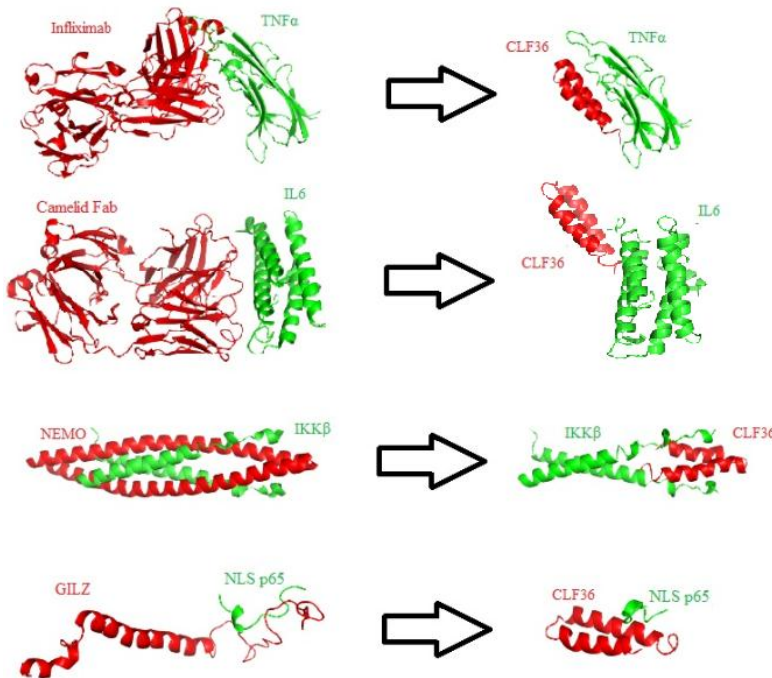
**Table 4-**Comparison of physicochemical properties of CLF36 peptide and other compounds inhibiting the NF-κB

آنالیز Analyze	CLF36	Infliximab	Camelid Fab	NEMO	GILZ
وزن مولکولی Weight molecular	5139.05	47752.13	46717.05	8520.70	8712.85
نقطه ایزوالتکتریک Isoelectric point	11.17	7.17	7.64	5.21	4.65
نیمه عمر Half time (hours)	1.1	1.1	0.8	30	30
دنباله‌های منفی (Asp + Glu)	2	39	30	15	16
دنباله‌های مثبت (Arg + Lys)	12	39	31	12	9
شاخص ناپایداری Instability index	56.70	54.24	47.43	58.70	78.33
شاخص آلیفاتیک Index aliphatic	55.71	66.84	69.41	76.71	87.40
هیدروفوتبیسیتی GRAVY	-1.367	-0.369	-0.282	-0.997	-0.717

جدول ۵- مقایسه انرژی اتصال برای برهمنکنن پپتید CLF36 با جایگاه فعال مسیرهای بالادستی و پایین دستی NF-κB

**Table 5-** Comparison of binding energy for the interaction of CLF36 peptide with the active site of NF-κB pathway

جاگاه فعال Active site	CLF36 peptide	
	انرژی اتصال (کیلوکالری بر مول) -ΔG (kcal/mol)	کمترین انرژی Lowest energy
مسیر بالادستی Upstream pathway	مرکز Center	کمترین انرژی Lowest energy
TNF $\alpha$	-736.3	-763.8
IL6	-642.8	-723.7
مسیر پایین دستی Downstream pathway		
IKK $\beta$	-1129.3	-1152.9
NF-κB (P65)	-481.0	-534.5

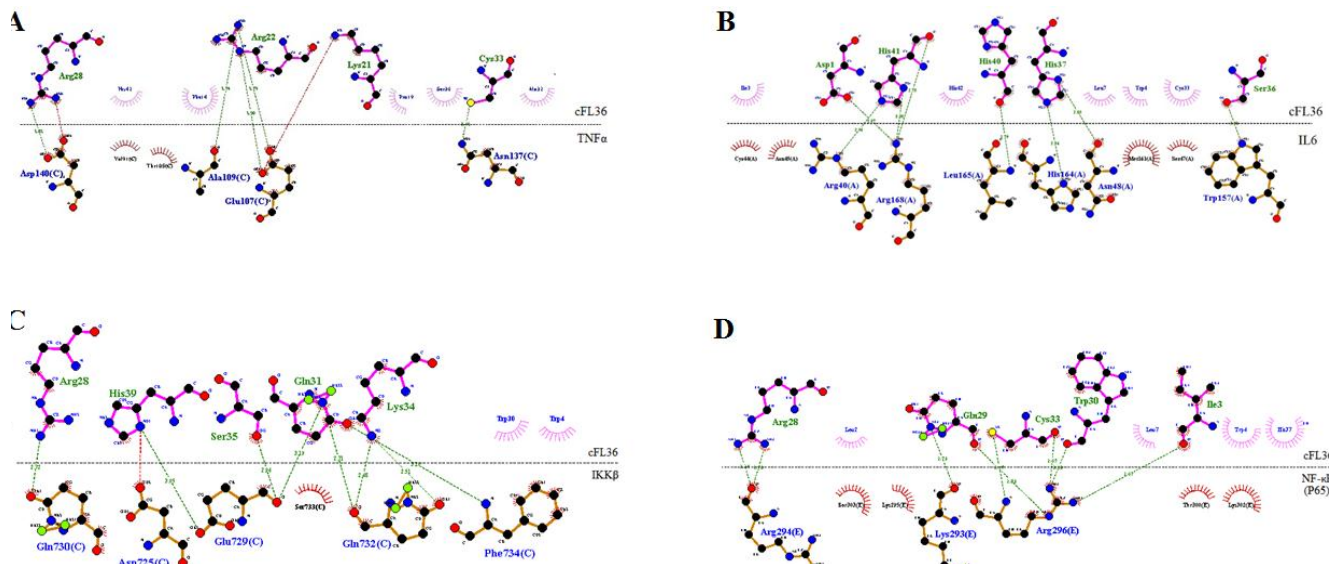


شکل ۱- موقعیت اتصال پیتید CFL36 با گیرندهای پروتئینی مسیر NF-κB

**Figure 1- CFL36 peptide binding position with protein receptors of the NF-κB pathway**

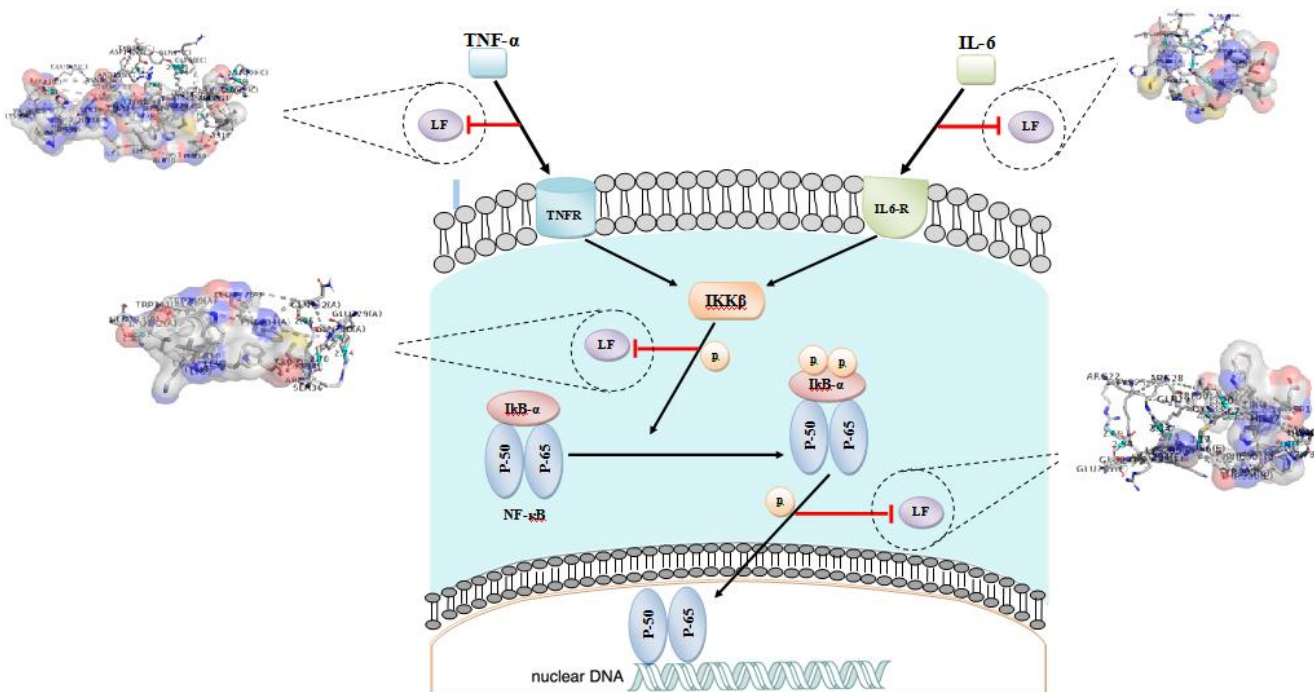
برهم‌کنش‌های این مسیر در شکل ۲.D نشان داده است. بنابراین، براساس نتایج حاصل از داکینگ پیتید CFL36 با پروتئین‌های مسیر NF-κB در محیط شبیه‌سازی شده مولکولی و مقایسه نتایج با اثرات مهاری سایر ترکیبات دارویی می‌توان گفت که پیتید CFL36 از طریق حفظ ساختار خود با اتصال پایدار به جایگاه فعال سایتوکاین‌های پیش التهابی TNF- $\alpha$ ، IL-6 در مسیر بالادستی فاکتور هسته کاپا B سبب مهار اتصال این سایتوکاین‌ها با رسپتورهای NF-κB سطح غشای سلول هدف شده و در نهایت، پیامرسانی مسیر متوقف خواهد شد. همچنین در مسیر پایین دستی این پیامرسان نیز پیتید CFL36 از طریق مهار جایگاه فعال آنزیم IKK $\beta$  به توقف آبشار مولکولی داخل سلولی کمک خواهد کرد. در کنار آن پیتید CFL36 با مهار جایگاه اتصال NLS فاکتور رونویسی پروتئین NF-(P65) در عملکرد فاکتور نسخه‌برداری NF-κB در بیان سایتوکاین‌های پیش P65 را به عنوان فاکتور رونویسی در بیان ژن‌های مربوط به سایتوکاین‌های پیش التهابی (TNF- $\alpha$  و IL-6) مختلط کرده و موجب مهار مسیر پیامرسان NF-κB در شرایط بروز التهاب و بیماری‌های خود التهابی خواهد شد و می‌توان این پیتید را به عنوان یکی از ترکیبات مهاری این مسیر پیامرسان معرفی گردد. مسیرهای مهاری پیتید و برهم‌کشن آن با ترکیبات پروتئینی مسیر بالادستی و پایین دستی در شکل ۳ نشان داده شده است.

همچنین، نتایج نشان می‌دهد که پیتید CFL36 از طریق برهم‌کش ۱ سید آمینه‌های آرژنین ۲۸، گلوتامین ۲۹، سیستئین ۳۳ و تریپوفان ۳۰، ایزوولوسین ۳ به ترتیب با اسیدهای آمینه‌های آرژنین ۲۹۳ و ۲۹۵ از جایگاه NLS پروتئین (NLS-P65)، لیزین ۲۹۳ و ۲۹۵ از جایگاه Importin  $\alpha$  ۳ به ممکن است سبب مهار اتصال پروتئین انتقال دهنده Importin  $\alpha$  ۳ به این جایگاه فعال NLS شده و در نهایت، از انتقال پروتئین فعال NF-κB(P65) به داخل هسته جلوگیری کند. زیرا براساس نتایج Florio و همکاران در سال ۲۰۲۲ که به بررسی برهم‌کنش‌های پروتئین Importin  $\alpha$  ۳ با هترودایمر p50/p65 پرداخته‌اند، اسید آمینه‌های لیزین ۲۹۵، آرژنین ۲۹۶ و از سید آمینه‌های اصلی در برقراری ارتباط بین پروتئین (Importin  $\alpha$  ۳ و NF-κB(P65)) معروف شده‌اند (Florio et al., 2022). که این امر می‌تواند اثرات مهاری بر عملکرد فاکتور نسخه‌برداری NF-κB در بیان سایتوکاین‌های پیش التهابی درون هسته داشته باشد. همچنین نتایج ما در این پژوهش با بررسی‌های اسرینیواسان و همکاران در سال ۲۰۱۴ بر روی اثرات مهاری پیتید GILZ بر NLS پروتئین NF-κB(P65) مطابقت دارد. نتایج آن‌ها نشان داد که پیتید GILZ از طریق برهم‌کشن با اسید آمینه‌های آرژنین ۲۹۴، لیزین ۲۹۳، ترئونین ۳۰۰ و آرژنین ۲۹۵ از NLS پروتئین P65 سبب ممانعت از اتصال آن به پروتئین انتقال دهنده Importin  $\alpha$  ۳ شده و در نهایت، مانع انتقال آن به درون هسته می‌شود (Srinivasan et al., 2014).



شکل ۲- برهمنش‌های مولکولی پپتید CFL36 با مسیرهای بالادستی و پایین دستی

Figure 2- Molecular interactions of CFL36 peptide with upstream and downstream NF-κB pathways



شکل ۳- برهمنش‌های مولکولی پپتید CFL36 با پروتئین‌های مسیر پیام‌رسان NF-κB

Figure 3- Molecular interactions of CFL36 peptide with the NF-κB proteins

نسل جدید به شمار آیند. تاکنون چندین مطالعه در زمینه اثرات پروتئین لاکتوفرین و پپتیدهای آن بر روی سیستم ایمنی صورت گرفته و در چندین مطالعه اثرات پپتید نوترکیب CFL36 بر تعديل سیستم ایمنی پرندگان مورد تأیید قرار گرفته است. مهار مسیر پیام‌رسان NF-

**نتیجه‌گیری کلی**  
پروتئین لاکتوفرین و پپتیدهای مشتق شده از آن به صورت طبیعی از مواد خوراکی بدست می‌آیند. بنابراین، دارای عوارض جانبی کمی می‌باشد، در نهایت می‌توانند کاندیدای منا سی برای داروهای

که عنوان یکی از روش‌های تعدیل و تنظیم سیستم ایمنی محسوب می‌شود. براساس نتایج این پژوهش، می‌توان گفت در محیط شبیه سازی شده مولکولی، پپتید CLF36 مشتق شده از لاکتوفرین شتری اثرات مهاری مشابهی با سایر ترکیبات دارویی متبادل در مهار مسیرهای بالادستی و پایین دستی پیامرسان NF-κB نظیر

GILZ و NEMO ‘Camelid Fab ‘Infliximab حصول اطمینان از عملکرد پپتید CLF36 می‌بایست نتایج حاصله در شرایط آزمایشگاهی نیز مورد بررسی قرار گیرد.

## References

- Berluttì, F., Pantanella, F., Natalizi, T., Frioni, A., Paesano, R., Polimeni, A., & Valenti, P. (2011). Antiviral properties of lactoferrin—a natural immunity molecule. *Molecules*, 16(8), 6992-7018. <https://doi.org/10.3390/molecules16086992>
- Blanchetot, C., De Jonge, N., Desmyter, A., Ongena, N., Hofman, E., Klarenbeek, A., Sadi, A., Hultberg, A., Kretz-Rommel, A., & Spinelli, S. (2016). Structural mimicry of receptor interaction by antagonistic interleukin-6 (IL-6) antibodies. *Journal of Biological Chemistry*, 291(26), 13846-13854. <https://doi.org/10.1074/jbc.M115.695528>
- Bolscher, J. G., Adão, R., Nazmi, K., Van den Keybus, P. A., Van't Hof, W., Amerongen, A. V. N., Bastos, M., & Veerman, E. C. (2009). Bactericidal activity of LFchimera is stronger and less sensitive to ionic strength than its constituent lactoferricin and lactoferrampin peptides. *Biochimie*, 91(1), 123-132. <https://doi.org/10.1016/j.biochi.2008.05.019>
- Boswell, C. A., Tesar, D. B., Mukhyala, K., Theil, F. P., Fielder, P. J., & Khawli, L. A. (2010). Effects of charge on antibody tissue distribution and pharmacokinetics. *Bioconjugate Chemistry*, 21(12), 2153-2163. <https://doi.org/10.1021/bc100261d>
- Chen, Y. Q., Sengchanthalangs, L. L., Hackett, A., & Ghosh, G. (2000). NF-κB p65 (RelA) homodimer uses distinct mechanisms to recognize DNA targets. *Structure*, 8(4), 419-428. [https://doi.org/10.1016/S0969-2126\(00\)00123-4](https://doi.org/10.1016/S0969-2126(00)00123-4)
- Daneshmand, A., Kermanshahi, H., Sekhavati, M. H., Javadmanesh, A., & Ahmadian, M. (2019). Antimicrobial peptide, cLF36, affects performance and intestinal morphology, microflora, junctional proteins, and immune cells in broilers challenged with *E. coli*. *Scientific Reports*, 9(1), 1-9. <https://doi.org/10.1038/s41598-019-50511-7>
- Daneshmand, A., Kermanshahi, H., Sekhavati, M. H., Javadmanesh, A., Ahmadian, M., Alizadeh, M., & Aldawoodi, A. (2020). Effects of cLFchimera peptide on intestinal morphology, integrity, microbiota, and immune cells in broiler chickens challenged with necrotic enteritis. *Scientific Reports*, 10(1), 11-1. <https://doi.org/10.1038/s41598-020-74754-x>
- Dinarello, C. A. (2007). Historical insights into cytokines. European Journal of Immunology. *European Journal of Immunology*, 37(1), 34-45. <https://doi.org/10.1002/eji.200737772>
- Embleton, N. D., Berrington, J. E., McGuire, W., Stewart, C. J., & Cummings, S. P. (2013). Lactoferrin: Antimicrobial activity and therapeutic potential. Seminars in Fetal and Neonatal Medicine. *Seminars in Fetal and Neonatal Medicine*, 18(3), 143-149. <https://doi.org/10.1016/j.siny.2013.02.001>
- Florio, T. J., Lokareddy, R. K., Yeggoni, D. P., Sankhala, R. S., Ott, C. A., Gillilan, R. E., & Cingolani, G. (2022). Differential recognition of canonical NF-κB dimers by Importin α3. *Nature Communications*, 13(1), 1-16. <https://doi.org/10.1038/s41467-022-28846-z>
- Hayden, M., West, A., & Ghosh, S. (2006). NF-κB and the immune response. *Oncogene*, 25(51), 6758-6780. <https://doi.org/10.1038/sj.onc.1209943>
- Hu, S., Liang, S., Guo, H., Zhang, D., Li, H., Wang, X., Yang, W., Qian, W., Hou, S., & Wang, H. (2013). Comparison of the inhibition mechanisms of adalimumab and infliximab in treating tumor necrosis factor α-associated diseases from a molecular view. *Journal of Biological Chemistry*, 288(38), 27059-27067. <https://doi.org/10.1074/jbc.M113.491530>
- Kanwar, J. R., Roy, K., Patel, Y., Zhou, S.F., Singh, M. R., Singh, D., Nasir, M., Sehgal, R., Sehgal, A., & Singh, R. S. (2015). Multifunctional iron bound lactoferrin and nanomedicinal approaches to enhance its bioactive functions. *Molecules*, 20(6), 9703-9731. <https://doi.org/10.3390/molecules20069703>
- Kopp, E., & Ghosh, S. (1994). Inhibition of NF-κB by sodium salicylate and aspirin. *Science*, 265(5174), 956-959. <https://doi.org/10.1126/science.8052854>
- Kozakov, D., Beglov, D., Bohnuud, T., Mottarella, S. E., Xia, B., Hall, D. R., & Vajda, S. (2013). How good is automated protein docking?. *Proteins: Structure, Function, and Bioinformatics*, 81(12), 2166-2159. <https://doi.org/10.1002/prot.24403>
- Kozakov, D., Hall, D. R., Xia, B., Porter, K. A., Padhorny, D., Yueh, C., Beglov, D., & Vajda, S. (2017). The ClusPro web server for protein–protein docking. *Nature Protocols*, 12(2), 255-278. <https://doi.org/10.1038/nprot.2016.169>
- Kraus, T., Winter, G., & Engert, J. (2019). Test models for the evaluation of immunogenicity of protein aggregates.

- International Journal of Pharmaceutics*, 559(1), 192-200. <https://doi.org/10.1016/j.ijpharm.2019.01.015>
18. Leboffe, L., Giansanti, F., & Antonini, G. (2009). Antifungal and antiparasitic activities of lactoferrin. *Anti-Infective Agents in Medicinal Chemistry .Formerly Current Medicinal Chemistry-Anti-Infective Agents*, 8(2), 114-127. <https://doi.org/10.2174/187152109787846105>
19. Liang, S., Dai, J., Hou, S., Su, L., Zhang, D., Guo, H., Hu, S., Wang, H., Rao, Z., & Guo, Y. (2013). Structural basis for treating tumor necrosis factor  $\alpha$  (TNF $\alpha$ )-associated diseases with the therapeutic antibody infliximab. *Journal of Biological Chemistry*, 288(19), 13799-13807. <https://doi.org/10.1074/jbc.M112.433961>
20. Nemati, M., Akseh, S., Amiri, M., Nejabati, H. R., Jodati, A., Maroufi, N. F., Faridvand, Y., & Nouri, M. (2021). Lactoferrin suppresses LPS-induced expression of HMGB1, microRNA 155, 146, and TLR4/MyD88/NF- $\kappa$ B pathway in RAW264. 7 cells. *Immunopharmacology and Immunotoxicology*, 43(2), 153-159. <https://doi.org/10.1080/08923973.2021.1872616>
21. Rushe, M., Silvian, L., Bixler, S., Chen, L. L., Cheung, A., Bowes, S., Cuervo, H., Berkowitz, S., Zheng, T., & Guckian, K. (2008). Structure of a NEMO/IKK-associating domain reveals architecture of the interaction site. *Structure*, 16(5), 798-808. <https://doi.org/10.1016/j.str.2008.02.012>
22. Song, L., Xie, W., Liu, Z., Guo, D., Zhao, D., Qiao, X., Wang, L., Zhou, H., Cui, W., & Jiang, Y. (2019). Oral delivery of a *Lactococcus lactis* strain secreting bovine lactoferricin-lactoferrampin alleviates the development of acute colitis in mice. *Applied Microbiology and Biotechnology*, 103(15), 6169-6186. <https://doi.org/10.1007/s00253-019-09898-6>
23. Srinivasan, M., Blackburn, C., & Lahiri, D. K. (2014). Functional characterization of a competitive peptide antagonist of p65 in human macrophage-like cells suggests therapeutic potential for chronic inflammation. *Drug Design, Development and Therapy*, 8(1), 2409-2419. <https://doi.org/10.2147/DDDT.S59722>
24. Tang, X. S., Shao, H., Li, T. J., Tang, Z. R., Huang, R. L., Wang, S. P., Kong, X. F., Wu, X., & Yin, Y. L. (2012). Dietary supplementation with bovine lactoferrampin-lactoferricin produced by *Pichia pastoris* fed-batch fermentation affects intestinal microflora in weaned piglets. *Applied Biochemistry and Biotechnology*, 168(4), 887-898. <https://doi.org/10.1007/s12010-012-9827-0>
25. Tanhaeian, A., Ahmadi, F. S., Sekhavati, M. H., & Mamarabadi, M. (2018). Expression and purification of the main component contained in camel milk and its antimicrobial activities against bacterial plant pathogens. *Probiotics and Antimicrobial Proteins*, 10(4), 787-793. <https://doi.org/10.1007/s12602-018-9416-9>